

## ЭФФЕКТЫ "АНТИЭКРАНИРОВКИ" $f$ -ЭЛЕКТРОНОВ В ТАЖЕЛОФЕРМИОННОЙ СИСТЕМЕ $\text{CeAl}_3$ С МАГНИТНОЙ ПРИМЕСЬЮ

*П.А.Алексеев, В.Н.Лазуков, И.П.Садиков, М.Н.Хлопкин,  
Г.С.Бурханов, О.Д.Чистяков, Н.Б.Кольчугина*

При исследовании нейтронных спектров и теплоемкости в  $\text{Ce}_{1-x}\text{Nd}_x\text{Al}_3$  установлено, что большая ширина переходов между уровнями КЭП  $f$ -электронов в  $\text{CeAl}_3$  определяется кондовским рассеянием электронов проводимости. Обнаружен эффект антиэкранровки КЭП  $\text{CeAl}_3$  при увеличении обменного взаимодействия  $f$ - и  $s$ -электронов

При рассмотрении систем с тяжелыми фермионами (СТФ) обычно предполагается взаимонезависимость взаимодействий локализованных  $4f$ -электронов с электронами проводимости (ЭП) ( $s-f$ -взаимодействие) и с кристаллическим электрическим полем (КЭП)<sup>1</sup>. Однако, экспериментальные ширины переходов между уровнями КЭП  $4f$ -электронов в СТФ<sup>2</sup> характеризуются большими ( $\approx$  несколько мэВ) величинами, сравнимыми с расщеплением основного мультиплета в КЭП, что, возможно, отражает изменения в электронной подсистеме, связанные с кондовским рассеянием (КР) и формированием ТФ.

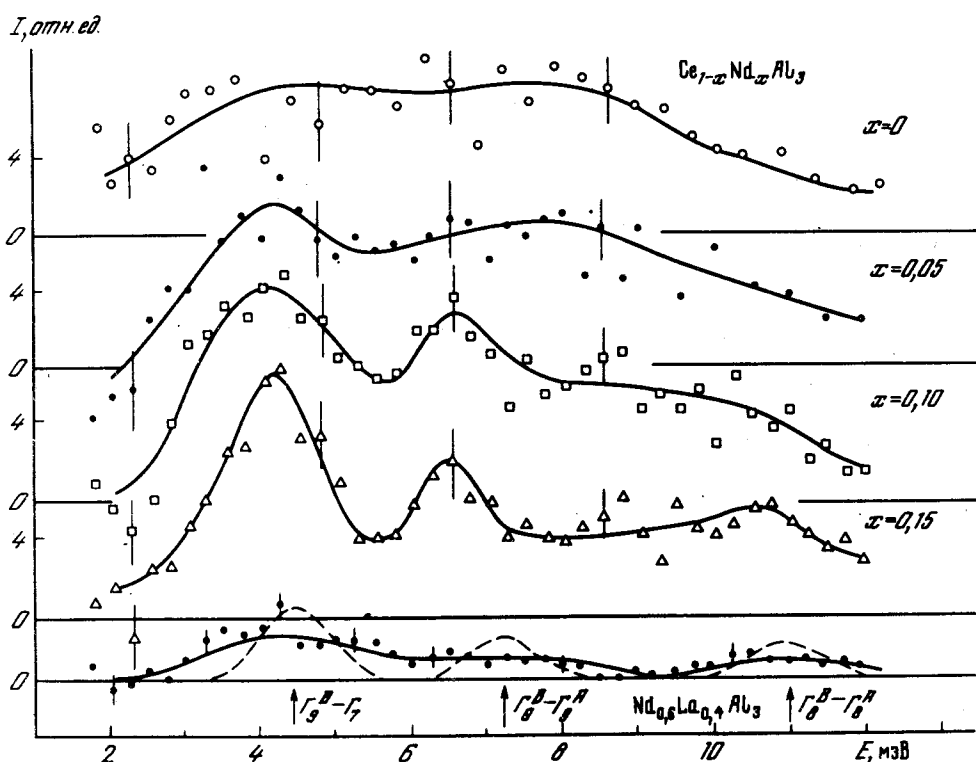


Рис. 1. Спектры НМР при  $T = 4,5$  К для  $\text{Ce}_{1-x}\text{Nd}_x\text{Al}_3$  и  $\text{Nd}_{0,6}\text{La}_{0,4}\text{Al}_3$ , штриховая линия – ожидаемое сужение  $\text{Nd}^{3+}$  из-за уменьшения степени беспорядка ближайшего окружения при уменьшении концентрации Nd

Экспериментальное исследование этого вопроса выполнено на СТФ  $\text{CeAl}_3$  ( $\gamma \approx 1,6 \frac{\text{Дж}}{\text{моль}\cdot\text{К}^2}$ ), когда вводились магнитные ионы неодима для изменения  $s-f$ -взаимодействия. Ионы Nd в КЭП  $\text{NdAl}_3$ <sup>3</sup> имеют ненулевую проекцию полного момента  $J_z$  при  $T \rightarrow 0$  К (маг- $\rightarrow$

нитный момент основного состояния  $\sim 1 \mu_B$ ). По известной технологии<sup>2</sup> был приготовлен ряд практически однофазных образцов  $\text{Ce}_{1-x}\text{Nd}_x\text{Al}_3$  ( $x = 0; 0,05; 0,10; 0,15$ ) и образец  $\text{Nd}_{0,6}\text{La}_{0,4}\text{Al}_3$  с постоянными решетки близкими к значениям для  $x = 0,10$ . Измерения неупругого магнитного рассеяния нейтронов (НМРН) на этих соединениях проводились на реакторе ИР-8 (ИАЭ им. И.В.Курчатова) методом " $Q = \text{const}$ " в интервале температур  $T = 4, 5 \dots 40$  К. Также измерена теплоемкость  $\text{Ce}_{1-x}\text{Nd}_x\text{Al}_3$  в магнитных полях до 8 Тл при  $T = 2 \dots 20$  К.

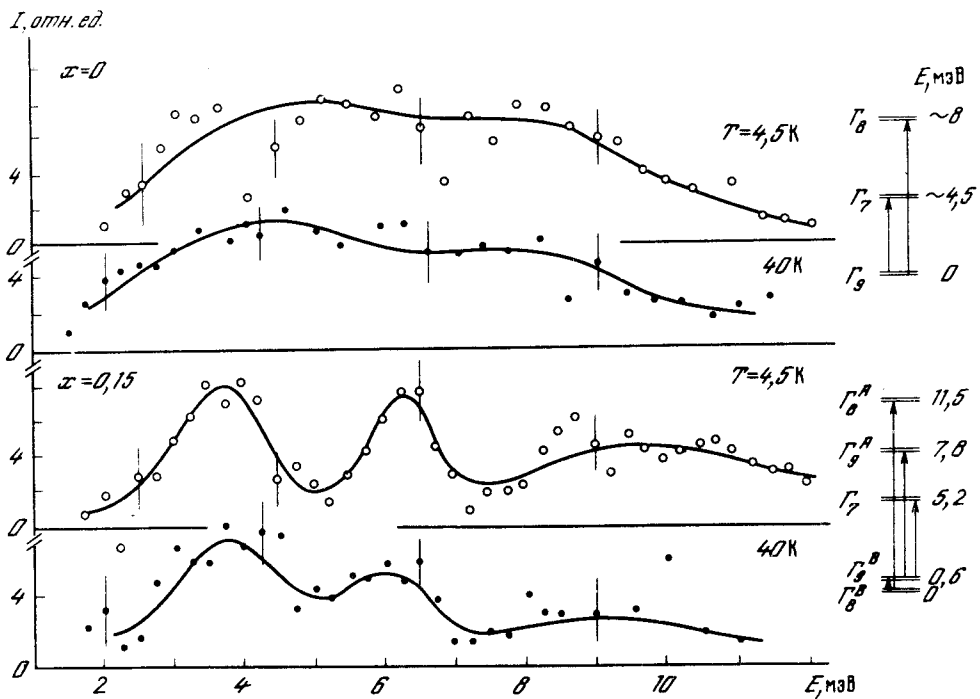


Рис. 2. Температурная зависимость спектров НМРН для  $\text{Ce}_{1-x}\text{Nd}_x\text{Al}_3$  ( $x = 0; 0,15$ ). Рассеяние на Nd исключено. Справа схемы уровней КЭП  $4f$ -электронов: вверху  $\text{Ce}^{3+}$  в  $\text{CeAl}_3$ <sup>2</sup>; внизу  $\text{Nd}^{3+}$  в  $\text{Nd}_{0,6}\text{La}_{0,4}\text{Al}_3$  (скайлинг по параметрам решетки от данных для  $\text{NdAl}_3$ <sup>3</sup>). Стрелками отмечены наблюдаемые переходы

Полученные спектры НМРН для  $\text{Ce}_{1-x}\text{Nd}_x\text{Al}_3$  и магнитное рассеяние для  $\text{Nd}_{0,6}\text{La}_{0,4}\text{Al}_3$ , приведенное к рассеянию на образце с 10% содержанием неодима (с учетом зависимости поглощения нейтронов от концентрации неодима), представлены на рис. 1. Спектр  $\text{CeAl}_3$  демонстрирует наличие двух широких пиков с энергиями  $\approx 4,5$  и  $8$  мэВ, что согласуется с<sup>2</sup>. Примесь неодима приводит к сильной трансформации спектра, заключающейся в возникновении на фоне спектра типа  $\text{CeAl}_3$  двух узких пиков с меньшими, чем в  $\text{CeAl}_3$ , энергиями. Интенсивность этих пиков увеличивается с ростом  $x$  и при  $x = 0,15$  составляет основную часть ( $\sim 80\%$ ) НМРН. Повышение температуры до 40 К приводит к некоторому уменьшению интенсивности переходов для всех образцов при всех  $x$  (рис. 2), что согласуется с характером изменения заселенности основного состояния  $\text{Ce}^{3+}$ <sup>2</sup>. Оценка сверху интенсивности пиков от рассеяния на неодиме дает величину, меньшую в несколько раз, чем наблюдаемая для  $\text{Ce}_{1-x}\text{Nd}_x\text{Al}_3$  (рис. 1). Положение пиков от переходов между уровнями КЭП  ${}^3\text{Nd}$  ( $E = 4,5$  мэВ,  $E = 7,2$  мэВ) в  $\text{Nd}_{0,6}\text{La}_{0,4}\text{Al}_3$  не совпадает с положением пиков в спектрах  $\text{Ce}_{1-x}\text{Nd}_x\text{Al}_3$  ( $x \neq 0$ ), но согласуется со скайлингом по параметрам решетки уровней КЭП  $\text{NdAl}_3$  (рис. 2). Для  ${}^3\text{Nd}$  в  $\text{Nd}_{0,6}\text{La}_{0,4}\text{Al}_3$  при повышении температуры до 40 К из-за увеличения заселенности уровня, с которого наблюдаются переходы ( $\Gamma_8^A$  на рис. 2), наблюдается увеличение интенсивности этих переходов. Эти особенности

позволяют сделать вывод о соответствии острых пиков в спектрах рассеянию нейтронов на ионах церия. Их возникновение на фоне широкого спектра CeAl<sub>3</sub> и увеличение интенсивности с ростом  $x$  можно рассматривать как результат суперпозиции двух видов спектральной функции для церия, что позволяет предположить наличие конечных областей влияния ионов неодима на церий. Поскольку такая трансформация НМР не наблюдалась в экспериментах с замещением Ce на La в CeAl<sub>3</sub>, то можно предположить, что именно введение ионов с магнитным моментом, а не разбавление, обуславливает наблюдаемые эффекты перехода от спектра, характерного для СТФ, к спектру, характерному для обычной  $f$ -электронной системы.

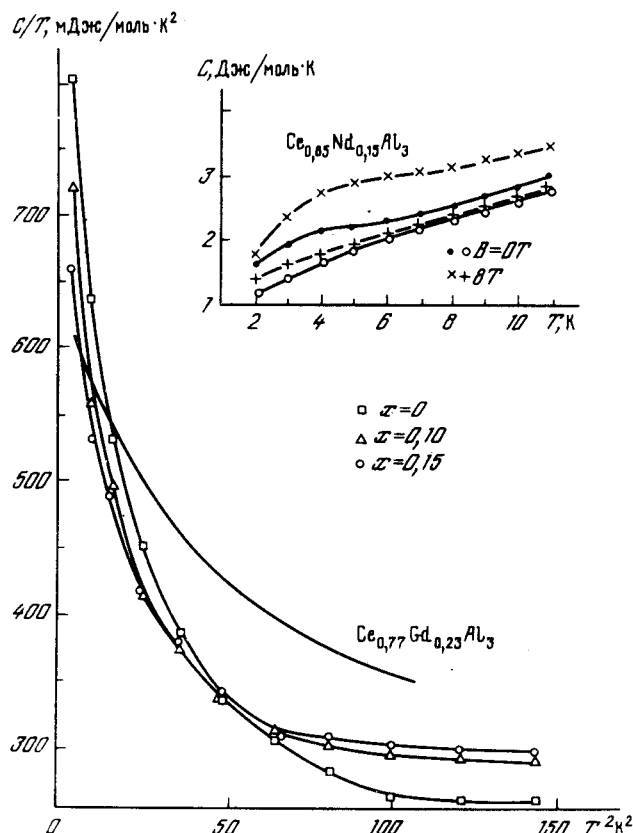


Рис. 3. Магнитная составляющая теплоемкости образцов Ce<sub>1-x</sub>Nd<sub>x</sub>Al<sub>3</sub> ( $x = 0; 0,10; 0,15$ ) и Ce<sub>0,77</sub>Gd<sub>0,23</sub>Al<sub>3</sub><sup>4</sup>. Вклады от Nd исключены. Результаты отнормированы на образец с  $x = 0$ . Вверху представлена теплоемкость образцов до (●, ×) и после (○, +) учета вклада от уровней КЭП Nd<sup>3+</sup> (см. рис. 2) в поле 0 Тл и 8 Тл

Измерения теплоемкости Ce<sub>1-x</sub>Nd<sub>x</sub>Al<sub>3</sub> (рис. 3) показали заметное уменьшение  $\gamma$  при  $T < 7$  К (до 20% при  $T = 2$  К). Влияние магнитного поля на теплоемкость при этих температурах в основном связано с расщеплением и сдвигом уровней <sup>3+</sup>Nd. На этом же рисунке представлены данные<sup>4</sup> по теплоемкости Ce<sub>0,77</sub>Gd<sub>0,23</sub>Al<sub>3</sub>. Авторы<sup>4</sup>, кроме радикального уменьшения  $\gamma$  обнаружили возникновение состояния типа спинового стекла, т. е. переход от кондо-режима к режиму магнитного иона. Исходя из подобия измеренных зависимостей теплоемкости с учетом оценки величин магнитных моментов, можно предположить, что воздействие Nd на CeAl<sub>3</sub> аналогично влиянию Gd. Таким образом уменьшение ширины

$(\Gamma \sim 1/\tau)$  неупругих пиков в НМРН на  $\text{Ce}_{1-x}\text{Nd}_x\text{Al}_3$  можно рассматривать как увеличение времени релаксации ( $\tau$ )  $f$ -электронов за счет уменьшения кондо-рассеяния. То есть изменения в теплоемкости и спектрах НМРН  $\text{CeAl}_3$  при введении магнитного иона ( $\text{Gd}, \text{Nd}$ ) указывают на возникновение "антиэкранировки" (декомпенсации) магнитного момента.

Другая характерная особенность НМРН на  $\text{Ce}_{1-x}\text{Nd}_x\text{Al}_3$  заключается в уменьшении расщепления в КЭП уровней  $4f$ -электронов ионов  $\text{Ce}$  одновременно с уменьшением  $\Gamma$  при введении Nd. (Впервые обратный эффект – рост ширины при увеличении энергии перехода, был экспериментально обнаружен в  $\text{Ce}_{0.9-x}\text{La}_x\text{Th}_{0.1}^5$  при переходе от кондо-режима к режиму промежуточной валентности, который связывают с увеличением  $s-f$ -взаимодействия<sup>1</sup>). Однако такой характер взаимосвязи ширины и энергии переходов не согласуется с представлениями релаксационной модели<sup>6</sup>, в которой уменьшение  $s-f$ -взаимодействия приводит к сужению уровней и некоторому увеличению наблюдаемого расщепления КЭП. Возможным объяснением такого расхождения является то, что КЭП и обменное взаимодействие  $f$ -электронов с ЭП в модели<sup>6</sup> рассматривались как независимые.

Авторы глубоко признательны А.Ю.Румянцеву, А.С.Иванову, Н.Л.Митрофанову за интерес к работе и содействие при подготовке и проведении экспериментов, В.Г.Орлову за сотрудничество и дискуссии.

#### Литература

1. *Мощалков В.В., Брандт Н.Б.* УФН, 1986, **149**, 585.
2. *Алексеев П.А., Садиков И.П. и др.* ФТТ, 1976, **18**, 2509.
3. *Alekseev P.A., Goremychkin E.A. et al.* Phys. Stat. Sol. (b), 1983, **119**, 651.
4. *Edelstein A.S., Holtz R.L. et al.* JMMM, 1987, **63 – 64**, 335.
5. *Grier B.H., Parks R.D., Shapiro S.M. et al.* Phys. Rev. B, 1981, **24**, 6242.
6. *Lopes L.C., Coqblin B.* JMMM, 1985, **47 – 48**, 133.

Институт атомной энергии им. И.В.Курчатова

Институт металлургии им. А.А.Байкова  
Академии наук СССР

Поступила в редакцию  
17 октября 1988 г.